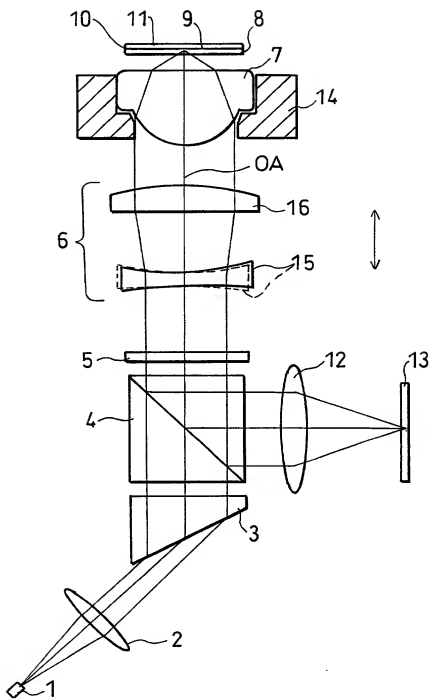


FIG. 1



100041058.1110101

FIG. 2

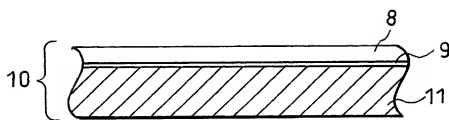
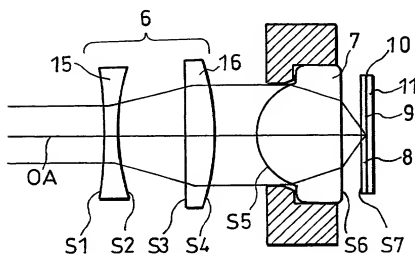


FIG. 3



10041033-110101

FIG. 4

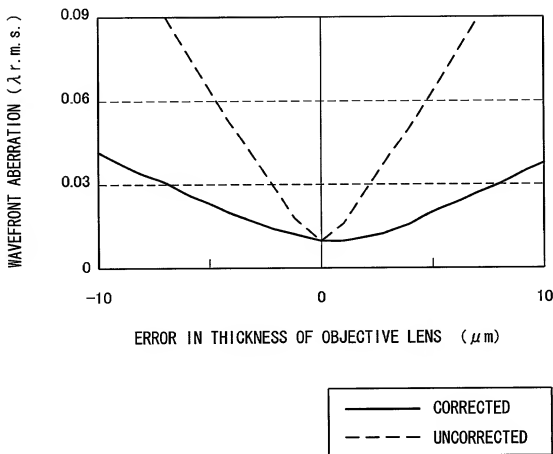
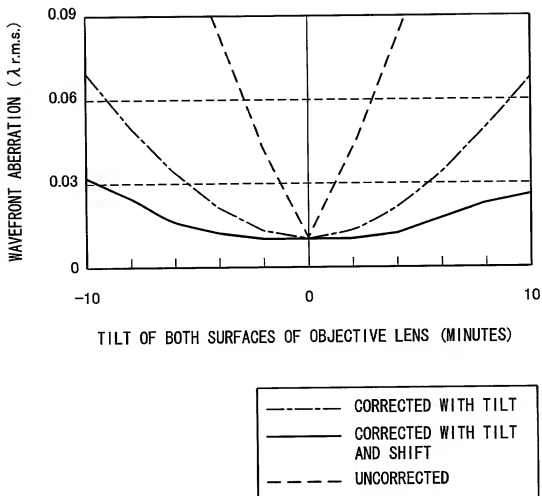


FIG. 5



F I G. 6

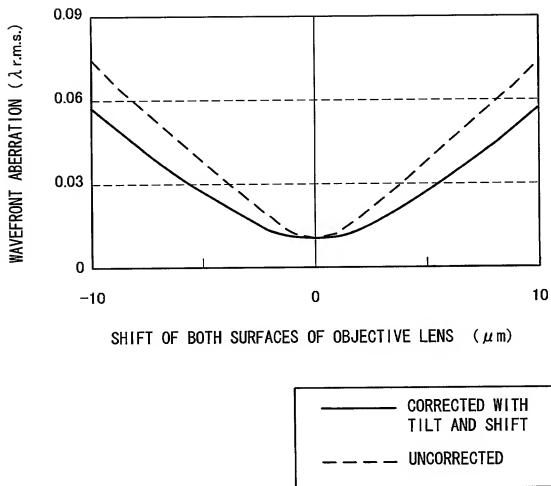
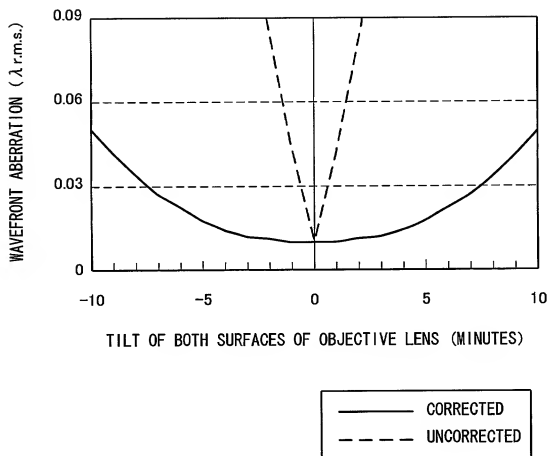


FIG. 7



F I G. 8

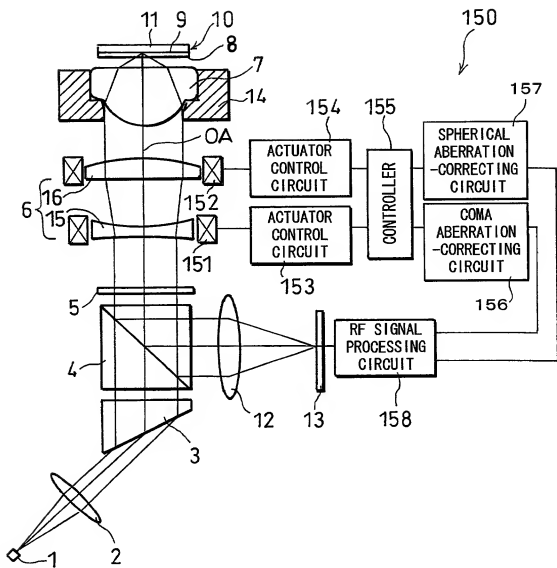
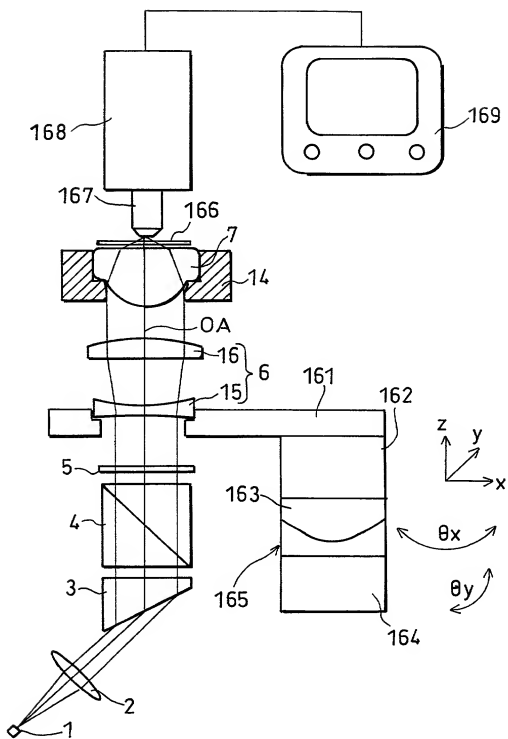
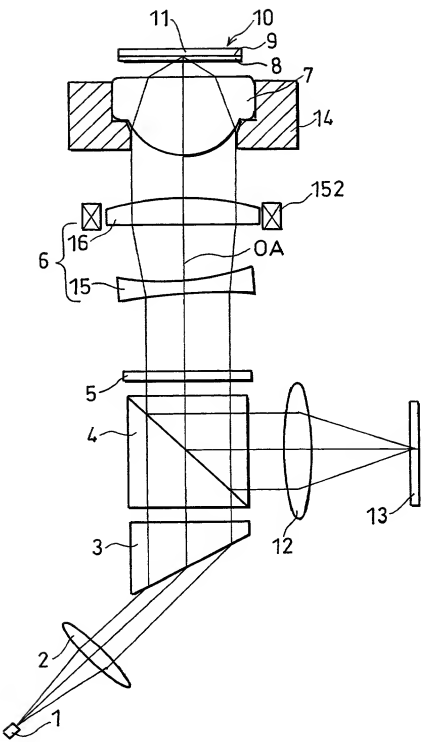


FIG. 9



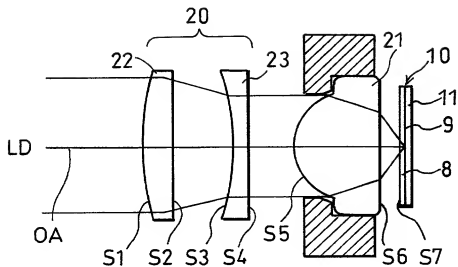
10041058.110101

FIG. 10

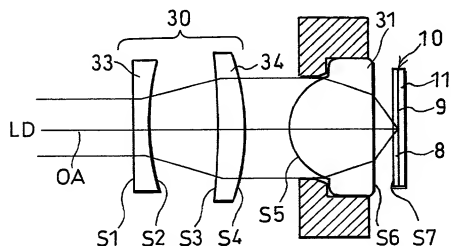


100111052-110101

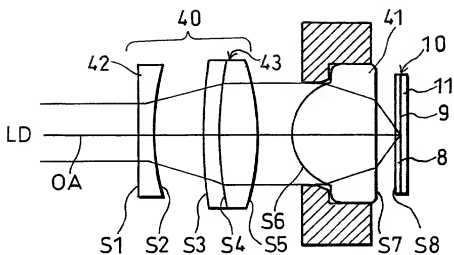
F I G. 1 1



F I G. 1 2



F I G. 1 3



10041058-110104

F I G. 1 4

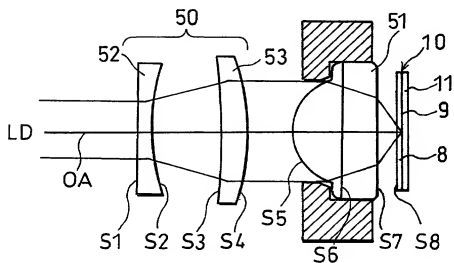
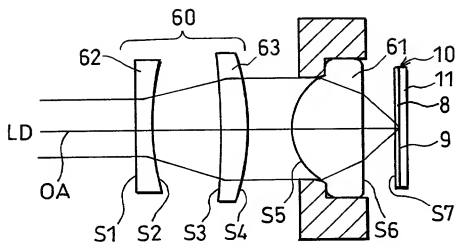


FIG. 15



1034-1068 • J. CLIN. ONCO

F I G. 16

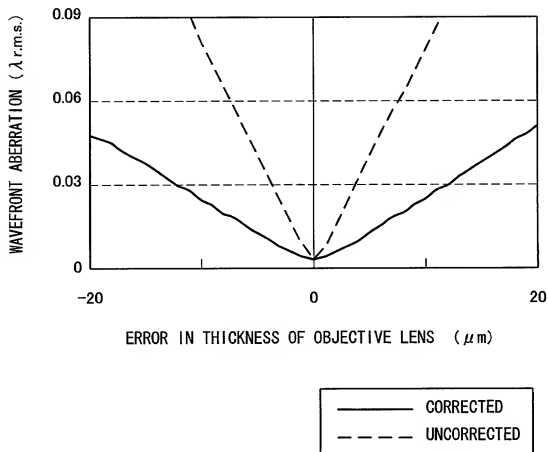


FIG. 17

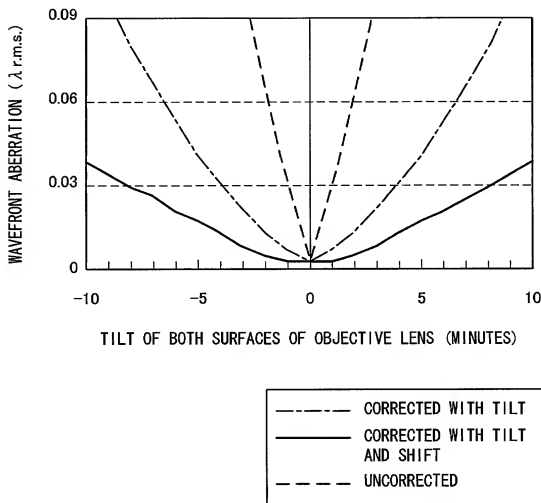
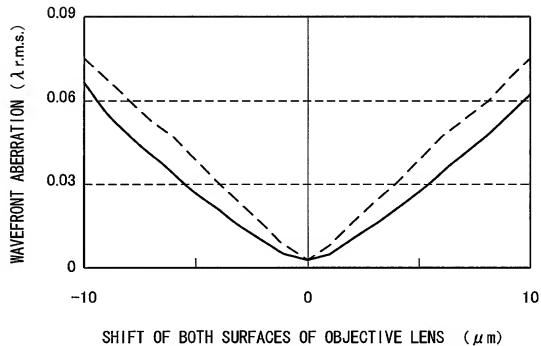
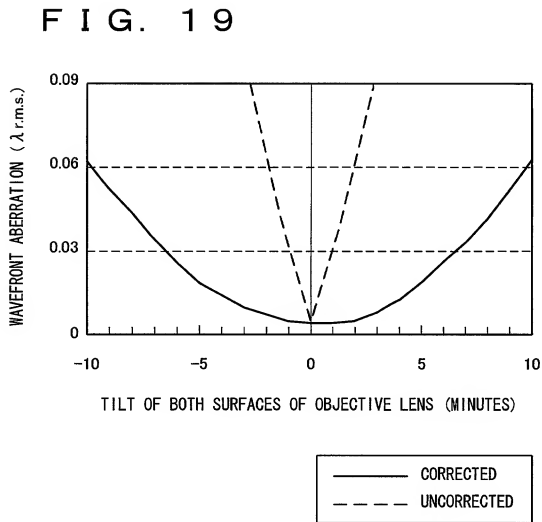


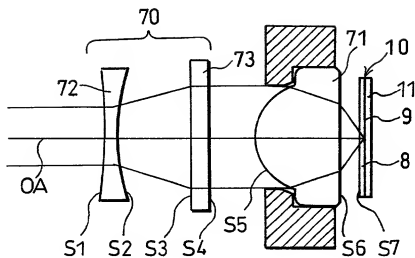
FIG. 18



— CORRECTED WITH TILT
AND SHIFT
- - - UNCORRECTED

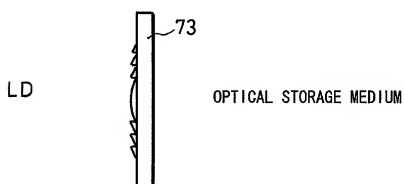


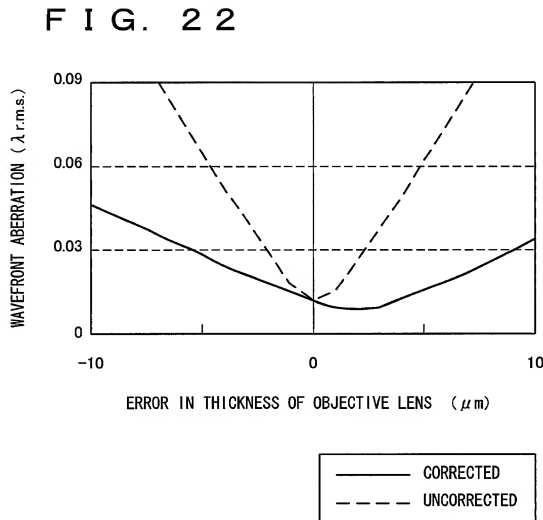
F I G. 2 0



10041068.110101

F I G. 2 1





F I G. 23

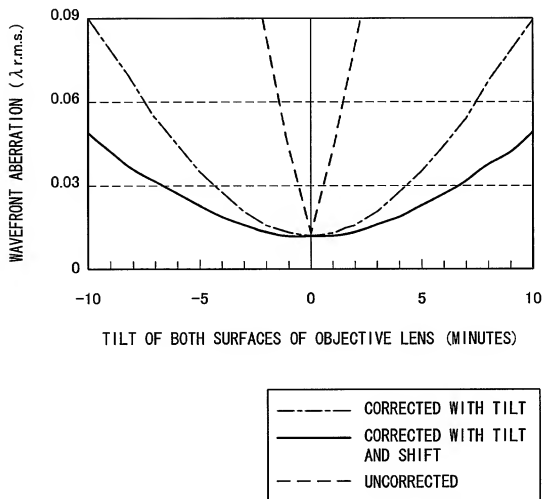
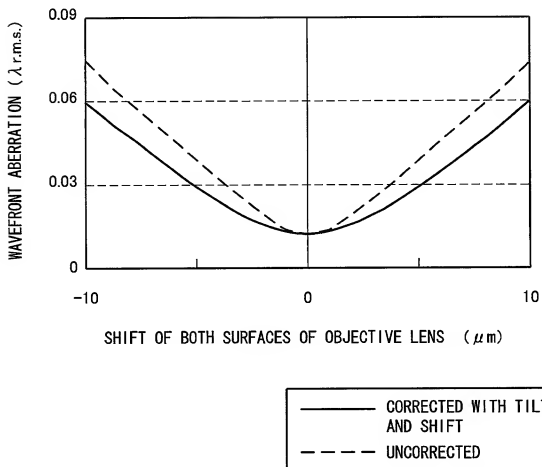
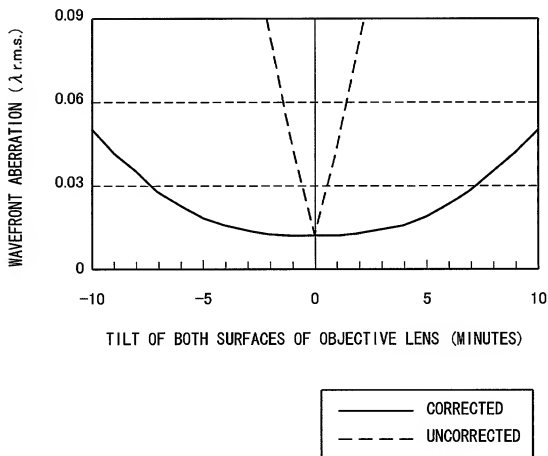


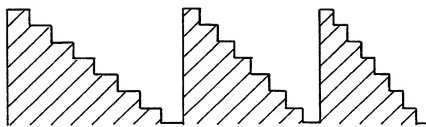
FIG. 24



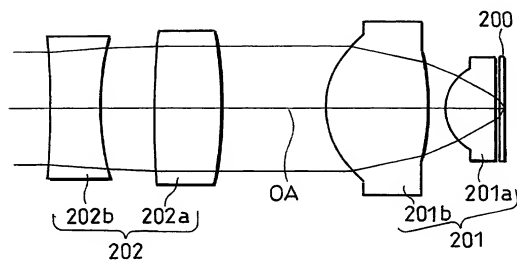
F I G. 25



F I G. 26



F I G. 27



1004106.11010.1